

появлению большего числа спектральных линий и их некоторому смещению. При этом большее число спектральных линий, лежащих в „красной” области, приводит к снижению яркости свечения в „зеленой” области спектра МДПМ-структур.

Таким образом, проведенные исследования ВЯХ и спектральных зависимостей излучения тонкопленочных МДПДМ- и МДПМ-структур с активным слоем $ZnS : TbF_3$ позволили установить: 1) структуры с керамическим диэлектриком имеют значительно более низкие пороговые напряжения; 2) ВЯХ этих структур более плавкие при относительно больших яркостях свечения; 3) спектральные зависимости у МДПМ-структур характеризуются большим числом полос и некоторым их смещением, что связано с особенностями кристаллической структуры пленок $ZnS : TbF_3$, выращенных на керамике.

Список литературы

- [1] Мануэль Т., Лайман Д. // Электроника. 1987. № 11. С. 19-33.
- [2] Yoshio Sano, Keijio Nipomura, Nobuyoshi Koizumi e.a. // IEEE Trans. Electron. Dev. 1986. ED-33. N 8. P. 1155-1158.
- [3] Феофилов П.П. // Опт. и спектр. 1961. Т. 10. № 1. С. 142.

Институт полупроводников
АН УССР, Киев

Поступило в Редакцию
25 марта 1989 г.

Письма в ЖТФ, том 15, вып. 17

12 сентября 1989 г.

06.2; 06.3

МАЛОШУМЯЩИЕ ЛАВИННЫЕ ФОТОДИОДЫ С РАЗДЕЛЕННЫМИ ОБЛАСТЯМИ ПОГЛОЩЕНИЯ И УМНОЖЕНИЯ ДЛЯ ОБЛАСТИ СПЕКТРА 1.6-2.4 МКМ

И.А. Андреев, М.А. Афрайлов,
А.Н. Баранов, Н.Н. Марьинская,
М.А. Мирсагатов, М.П. Михайлова,
Ю.П. Яковлев

В последние годы для использования в ВОСПИ привлекает внимание спектральный диапазон 2-4 мкм [1, 2]. Интерес к этому диапазону связан с возможностью получения более низких оптических потерь (10^{-2} - 10^{-3} дБ/км) в волокнах на основе флюоридных стекол, чем в кварцевых волокнах на длине волны $\lambda = 1.55$ мкм [1]. Обнадеживающие результаты по получению волокон для ИК-диапазона [2] стимулируют также создание элементной базы - источников

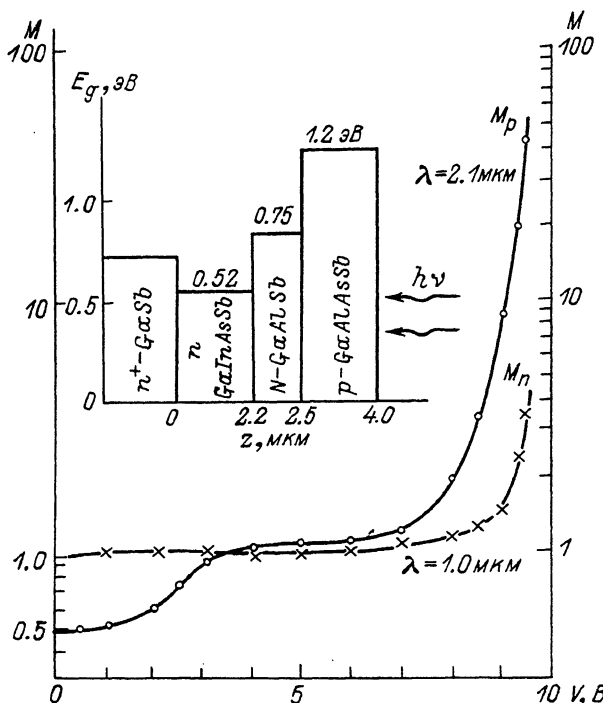


Рис. 1. Зависимости коэффициентов умножения носителей заряда от обратного напряжения в ЛФД РПУ с областью умножения $Ga_{0.95}Al_{0.04}Sb$ „резонансного” состава при освещении монохроматическим светом с различной длиной волны. На врезке рис. 1 показана схематически структура ЛФД РПУ с „резонансным” составом в области умножения.

света и фотоприемников для длинноволновых оптических систем передачи. Однако в литературе имеется чрезвычайно мало работ, посвященных разработке быстродействующих неохлаждаемых фотоприемников для диапазона 2–4 мкм (см., например, [3–5]).

Ранее мы сообщали о создании и исследовании первых лавинных фотодиодов (ЛФД) для области спектра 1.6–2.4 мкм на основе многокомпонентных твердых растворов $A^3B^5 GaInAsSb/GaAlAsSb$, в том числе с разделенными областями поглощения и умножения [6]. Были получены коэффициенты умножения $M = 20\text{--}30$ при $T = 300$ К, и реализован лавинный характер пробоя в таких ЛФД.

Перспектива использования ЛФД в системах ВОСП связана, в первую очередь, с проблемой избыточных шумов [7]. Известно, что избыточный шум ЛФД зависит от отношения коэффициентов ионизации дырок и электронов $k = \beta/\alpha$, при этом шумы минимальны, если $k \gg 1$ или $k \ll 1$ [8].

Было показано в [9], что в твердых растворах $GaAlSb$, для которых выполнено условие „резонанса” зон $E_g \approx \Delta_0$ (Δ_0 – величина

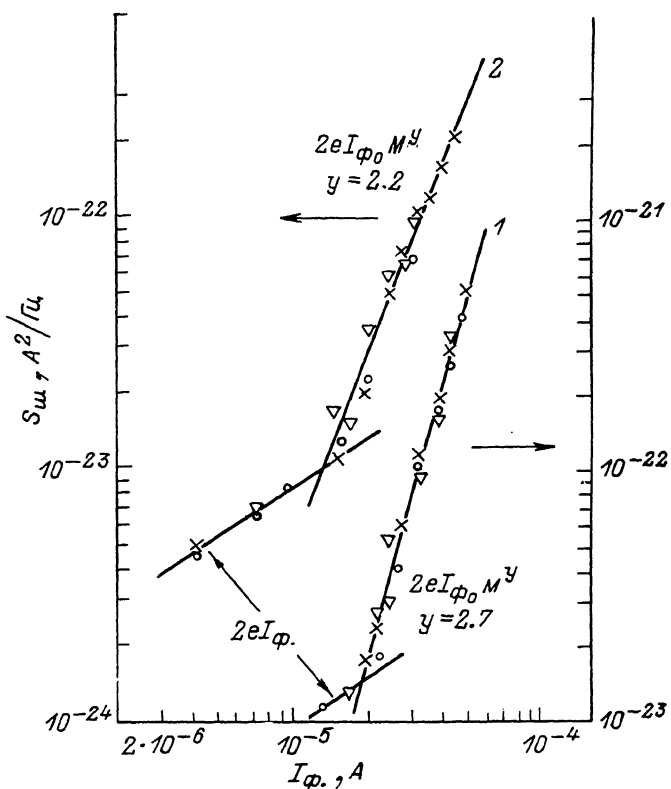


Рис. 2. Зависимости спектральной плотности мощности шума $S_{ш}$ от величины фототока для двух типов исследованных ЛФД: 1 - ЛФД 2 (область умножения в твердом растворе $Ga_{1-x}Al_xAs_ySb_{1-y}$, $x = 0.34$); 2 - ЛФД 3 (область умножения в твердом растворе $Ga_{1-x}Al_xSb$, $x = 0.04$).

спин-орбитального расщепления валентной зоны), может быть достигнуто высокое отношение коэффициентов ионизации ($\beta/\alpha > 30$ при $T = 300$ К). При этом реализуется практически монополярное умножение дырками.

Нами были изготовлены структуры ЛФД с раздепенными областями поглощения и умножения (ЛФД РПУ) [10], в которых область поглощения была выполнена из твердого раствора $GaInAsSb$ ($E_g = 0.52$ эВ), а область умножения из твердого раствора $Ga_{1-x}Al_xSb$ "резонансного" состава ($x = 0.04$, $E_g = \Delta_0 = 0.76$ эВ). Поверх этого слоя наращивался твердый раствор $Ga_{1-x}Al_xAs_ySb_{1-y}$ ($x = 0.34$, $E_g = 1.2$ эВ), который обеспечивал эффективный ввод излучения в структуру.

ЛФД РПУ были изготовлены методом ЖФЭ на подложках $p-GaSb$ (111) по методике, описанной ранее в [6]. Концентрация носителей заряда, определенная по вольт-фарадным измерениям,

Тип ЛФД	Область поглощения	Область умножения	$F(M)=M^n$, n	$F(M)$ при $M = 10$	β/α
1	$n\text{-GaInAsSb}$	$n\text{-GaInAsSb}$	0.5	3.2	7
2	$n\text{-GaInAsSb}$	$n\text{-Ga}_{1-x}\text{Al}_x\text{As}_y\text{Sb}_{1-y}$ $x = 0.34$	0.7	5.0	3
3	$n\text{-GaInAsSb}$	$n\text{-Ga}_{1-x}\text{Al}_x\text{Sb}$ $x = 0.04$	0.2	1.6	60

составила в области поглощения $n = (5-7) \cdot 10^{15} \text{ см}^{-3}$, а в области умножения $n = 8 \cdot 10^{16} \text{ см}^{-3}$. Толщины областей и положение гетерограницы относительно р-п перехода показаны на вставке рис. 1. Диаметр мезадиодов составил 260 мкм.

Были исследованы лавинное умножение фототока, ВАХ, спектры фоточувствительности, быстродействие и шумовые характеристики ЛФД. Напряжение пробоя таких структур составляло 10–12 В, а коэффициенты умножения лежали в интервале $M = 30-45$ при $T = 300 \text{ К}$. Зависимость умножения от длины волны указывала на преимущественное умножение дырками (рис. 1). Спектральные характеристики ЛФД были аналогичны описанным в [6] и имели плато в области 1.3–2.1 мкм. Квантовая эффективность в области плато составила 0.6 элект./фотон. Быстродействие ЛФД, измеренное при освещении через световодное волокно импульсами света полупроводникового лазера с $\lambda = 1.3 \text{ мкм}$, было не хуже 0.5–1.0 нс.

Измерения шумовых характеристик проводились с помощью измерителя коэффициента шума Х5–30 в режиме градуировки генераторов шума на частоте 3 МГц в полосе 0.3 МГц. Освещение структур производилось полупроводниковым лазером ИЛПН-206 с $\lambda = 1.3 \text{ мкм}$, что обеспечивало дырочную инжекцию в область умножения.

Было проведено сравнительное исследование шумовых характеристик трех типов разработанных нами ЛФД: 1 – на основе гетероструктуры $p\text{-GaInAsSb}/p\text{-GaAlAsSb}$, в которой области поглощения и умножения лежали в $p\text{-GaInAsSb}$ [11]; 2 – ЛФД РПУ с областью поглощения $p\text{-InGaAsSb}$ и областью умножения в твердом растворе $\text{Ga}_{1-x}\text{Al}_x\text{As}_y\text{Sb}_{1-y}$ ($E_g = 1.2 \text{ эВ}$, $x = 0.34$) [6]; 3 – ЛФД РПУ с областью умножения в твердом растворе „резонансного“ состава $\text{Ga}_{1-x}\text{Al}_x\text{Sb}$ ($x = 0.04$, $E_g = 4_0 = 0.76 \text{ эВ}$).

Зависимость спектральной плотности мощности шума $S_{\text{ш}}$ от коэффициента умножения фототока дается выражением [8]:

$$S_{\text{ш}}(M) = 2eI_{\phi_0}M^2F(M), \quad (1)$$

где e – заряд электрона, I_{ϕ_0} – инициирующий фототок, $F(M)$ – коэффициент избыточного шума (шум-фактор), M – коэффициент умножения фототока ($M = I_{\phi}(V)/I_{\phi_0}$).

На рис. 2 представлены экспериментальные зависимости $S_{\text{ш}}(I_{\Phi})$ для ЛФД 2 и ЛФД 3. По наклонам кривых в области резкого роста $S_{\text{ш}}(I_{\Phi})$ был определен вид зависимости $F(M)$ и определены значения $F(M)$ при $M = 10$, а также отношение коэффициентов ионизации дырок и электронов в трех типах структур (см. таблицу).

Как и следовало ожидать, самое низкое значение $F = 1.6$ получено для ЛФД РПУ с "резонансным" составом в области умножения. Отметим для сравнения, что в Ge ЛФД $F = 8-9$ ($\beta/\alpha \approx 2$), а в ЛФД РПУ InGaAs/InP $F = 5.9$ ($\beta/\alpha = 2-3$) при $M = 10$ (см., например, [13]). В плавинном гетерофотодиоде 1 типа получено $\beta/\alpha = 7$, что хорошо согласуется с результатами определения коэффициентов ионизации по коэффициентам умножения фототока в твердых растворах GaInAsSb [12]. Для ЛФД РПУ 3 типа получено наиболее высокое значение коэффициентов ионизации $\beta/\alpha = 60$.

Заметим, что недавно в работе [14] была проведена теоретическая оценка пороговых характеристик приемного оптического модуля с использованием ЛФД РПУ на основе $\text{GaAlAsSb}/\text{GaInAsSb}$ на длине волны $\lambda = 2.5$ мкм для скоростей передачи 0.66–2.0 Гбит/с. Авторы [14] отмечают, что несмотря на большие ожидаемые темновые токи в этих ЛФД по сравнению со структурами на основе GaInAs/InP может быть достигнута хорошая минимальная детектируемая мощность (например, -41.6 дБм при $T = 300$ К и скорости передачи 2 Гбит/с). Это обусловлено высоким отношением коэффициентов ионизации β/α (авторы [14] использовали в расчетах $\beta/\alpha = 30$ по данным [9]). Использование термоэлектрического охлаждения, как отмечено в этой работе, позволит улучшить пороговые характеристики ЛФД на основе $\text{GaInAsSb}/\text{GaAlAsSb}$ даже по сравнению с оптимизированным ЛФД на основе GaInAs/InP , работающим на длине волны $\lambda = 1.5$ мкм.

Таким образом, в результате проведенной работы созданы малошумящие ЛФД с разделенными областями поглощения и умножения на основе $\text{GaInAsSb}/\text{GaAlAsSb}$, перспективные для использования их в системах ИК-ВОСПИ III поколения в диапазоне до 2.5 мкм.

Список литературы

- [1] Lucas J. // Infrared Phys. 1985, 25 (1, 2).
- [2] Laser Focus, february 1987. P. 92–98.
- [3] Bower J.E., Srivastava A.K. et al. // Electr. Lett. 1986. V. 22. N 3. P. 137–139.
- [4] Moseley A.J., Scott M.D. et al. // Electr. Lett., 1986. V. 22. N 22. P. 1206–1207.
- [5] Андреев И.А., Афраимов М.А., Баранов А.Н. и др. // Письма в ЖТФ. 1986. Т. 12. С. 1311–1315.
- [6] Андреев И.А., Афраимов М.А., Баранов А.Н. и др. // Письма в ЖТФ. 1988. Т. 14. С. 986–991.

- [7] Корольков В.И., Михайлова М.П. // ФТП. 1988. Т. 17. № 4. С. 569-582.
- [8] McIntyre // IEEE Trans. El. Dev. 1966. ED-13. Р. 164.
- [9] Жингарев М.З., Корольков В.И., Михайлова М.П. // Письма в ЖТФ. 1981. Т. 24. С. 1487-1490.
- [10] Susa N., Nakagome H., Mikami O., Ando H., Kanbe H. // IEEE J. Quant. Electr. 1980. QE-16. N 8. Р. 864-869.
- [11] Андреев И.А., Афраилов М.А., Баранов А.Н. и др. // Письма в ЖТФ. 1987. Т. 13. № 8. С. 481-486.
- [12] Андреев И.А., Афраилов М.А., Баранов А.Н. и др. В сб.: Полупроводники и гетеропереходы. Таллин, 1987. С. 51-53.
- [13] Техника оптической связи. Фотоприемники. М.: Мир, 1988. 526 с.
- [14] Benoit J., Boulois M., Soulage G., Jouillie A., Mani H. // J. Opt. Commun. 1988. V. 9. Р. 55-58.

Физико-технический институт
им. А.Ф. Иоффе АН СССР,
Ленинград

Поступило в Редакцию
6 июня 1989 г.

Письма в ЖТФ, том 15, вып. 17

12 сентября 1989 г.

04; 09

НАГРЕВ ЭЛЕКТРОННОГО ГАЗА, УДЕРЖИВАЕМОГО НЕОДНОРОДНЫМ ВЫСОКОЧАСТОТНЫМ ПОЛЕМ

В.П. Коваленко

Известно, что усредненная по времени сила, действующая на заряд в слабо неоднородном высокочастотном поле, не равна нулю и направлена в сторону убывания амплитуды поля [1-3]. Заряд выталкивается из поля, причем эта выталкивающая сила (сила Миллера) при достаточно плавном изменении в пространстве амплитуды ВЧ поля носит потенциальный характер. Последнее, в частности, означает, что заряд, влетающий в рассматриваемое поле, отражается им упруго, без изменения энергии.

Взаимодействие неоднородных ВЧ полей с частицами играет важнейшую роль в плазме [4, 5], причем пространственные градиенты амплитуд могут быть весьма значительными. Большие градиенты достигаются и в случае возбуждения переменных полей современными мощными СВЧ устройствами.